



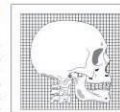
ADMINISTRACIÓN  
DE JUSTICIA



ADMINISTRACIÓN  
DE XUSTIZA



UNIDAD DE ANTROPOLOGIA FORENSE  
Hospital de Verin. 32600 Verin OURENSE  
Tfno-FAX: 988599021; Movil 620 862702



PROTOCOLO ANTROPOLOGIA FORENSE 22/21  
CONVENIO XUNTA-USC  
FILGUEIRA-CRECENTE

## INFORME ANTROPOLOGICO FORENSE

En virtud del Convenio firmado entre la Xunta de Galicia y la USC procedemos a intervenir en el Concello de Crecente, en la parroquia de San Pedro de Filgueira, donde el informante ya buscó los restos de César Alberte Dominguez (CAD) en 2011 por orden del Juzgado de Instrucción nº1 de Ponteareas (Pontevedra).

Promovido por la Secretaría de Estado de Memoria Democrática del Gobierno de España y en el marco del *Convenio de colaboración entre a Vicepresidencia Primeira e Consellería de Presidencia, Xustiza e Turismo, a Consellería de Cultura, Educación e Universidade da Xunta de Galicia e a Universidade de Santiago de Compostela para a realización de actuacións dentro do plan quadrienal de memoria democrática en Galicia 2021*, que prevé la intervención del Instituto de Medicina Legal de Galicia (Unidad de Antropología Forense del IMELGA), el informante ha llevado a cabo las actividades más adelante relacionadas.

### 1. Protocolos de aplicación:

En la investigación forense de las fosas de la Guerra Civil y la Dictadura y en este caso en concreto hemos tenido en consideración el Informe del Relator Especial de la ONU Pablo de Greiff así como el Protocolo Minnesota sobre la investigación de muertes potencialmente ilícitas 2016 (versión revisada del manual de las Naciones Unidas sobre la Prevención e Investigación eficaces de las ejecuciones extralegales, arbitrarias o sumarias de 1991). Las cuestiones técnico-forenses de estas investigaciones se han sometido a los estándares internacionales y protocolos forenses vigentes de las correspondientes sociedades científicas entre ellos el Protocolo de Estambul (Manual para la investigación y documentación eficaces de la Tortura y otros tratos o penas crueles, inhumanos o degradantes, Oficina del Alto Comisionado de las Naciones Unidas para los Derechos Humanos, Nueva York y Ginebra, 2004) y el Protocolo de Búsqueda, Levantamiento y Exhumación de Restos Humanos de la Asociación Española de Antropología y Odontología Forense<sup>1</sup>.

<sup>1</sup> Información obtenida del documento: Las exhumaciones de la Guerra Civil y la Dictadura franquista 2000-2019. Estado actual y recomendaciones de futuro. Descargable en:

En este laboratorio con fecha 3 de diciembre de 2021 entregadas por la empresa TEMPOS ARQUEOLOXIA SL se reciben 5 cajas de PE con el contenido que más adelante se relaciona.

## 2. Material y métodos:

2.1. MATERIAL: El registro inicial del material recibido es el indicado en la TABLA 1 que viene en cinco cajas de polietileno que contienen un total de 47 bolsas de plástico sigladas como se refiere en la tabla y cuyo contenido se describe más adelante documentándose fotográficamente todo el contenido de las bolsas recibidas.

TABLA 1: Material entregado por la empresa TEMPOS ARQUEOLOXIA de la exhumación de la Iglesia de San Pedro de Filgueira (Crecente).

Nº	SIGLA BOLSA
CAJA 1	
1	BOLSA 24 CRANEO 2 UE 4
2	BOLSA 27 CRANEO 5 UE 4
3	BOLSA 28 CRANEO 6 UE 04
4	BOLSA 25 CRANEO 3
5	BOLSA 26 CRANEO 4
6	BOLSA 21 CRANEO 7
7	BOLSA 35 CRANEO 8
8	BOLSA 23 CRANEO 1 UE 4
9	UE2 Nº3
10	UE 2 BOLSA 4
11	BOLSA 20
12	BOLSA 12 UE 02 CALICATA
13	BOLSA 18 UE 2
14	BOLSA 32 UE 04 OSOS
15	BOLSA 17 UE 02
16	CALICATA BOLSA 10
17	BOLSA 6 UE 2
18	BOLSA 14 CALICATA
19	BOLSA 11 CALICATA
20	CALICATA BOLSA 9
21	BOLSA 19 UE 2
22	UE2 Nº2
23	BOLSA 30 UE04 FALANGES DCHAS
24	BOLSA 31 UE 04 FALANGES ESQ
25	CALICATA BOLSA 13
26	CALICATA BOLSA 15
27	UE2 BOLSA 5
28	BOLSA 8 UE 02
29	BOLSA 16 UE 2
CAJA 2 RESTOS OSEOS DISPERSOS	
30	BOLSA 44 UE 02 FEMURES ESQ-DER
31	BOLSA 41 UE 02
32	BOLSA 33 UE 02
33	BOLSA 47 UE 02 FEMUR
34	BOLSA 42 CRANEO 9
35	BOLSA 54 UE 17
36	UE2 PARTE DE CRANEO DE BOLSA 39
37	FEMUR UE 02 BOLSA 49
38	UE02 BOLSA 34
39	UE02 BOLSA 38
40	UE 02 BOLSA 43
41	CRANEO 10 BOLSA 46
42	DENTES
CAJA 3 INDIVIDUO RECUPERADO	
43	INDIVIDUO 1
CAJA TAPA ROSA	

[https://www.mpr.gob.es/servicios/publicaciones/Documents/Exhumaciones\\_Guerra\\_Civil\\_accesible\\_BAJA.pdf](https://www.mpr.gob.es/servicios/publicaciones/Documents/Exhumaciones_Guerra_Civil_accesible_BAJA.pdf)

44	CRANEO 11
45	CRANEO 12
CAJA TAPA VERDE	
46	CRANEO 13
47	UE 04

## 2.2. METODOS:

Los restos óseos han permanecido alejados de fuentes de calor, con aireación artificial, en rangos térmicos de 16-21°C y humedad relativa inferior al 70%. Los restos óseos han sido lavados mediante una pequeña cantidad de agua y cepillado suave dejándolos secar durante 20 días.

Los restos óseos han sido medidos con calibre convencional, compás de espesor, tabla osteométrica, cinta métrica y goniómetro. Han sido observados con luz natural, artificial y ultravioleta (lámpara de Wood), bajo lupa y al estereomicroscopio a 45x. Han sido fotografiados con Camara Olympus E-330. Algunos cráneos han sido radiografiados y algunos fragmentos adheridos con acetato de etilo.

La excavación tiene lugar entre los días 24 de noviembre y 3 de diciembre de 2021. El informante asiste los días 25, 26, 29, 30 de noviembre, 1 y 2 de diciembre. El día 29-11-21 tomamos muestras de tierra en la UE 04: M1 en UE04 el perfil N (cota -25 cm, tierra arenosa) y el día 1-12-21 M2 en UE17 bajo INDIVIDUO 1 a -60 cm (tierra areno-limosa).

TIEMPO EMPLEADO: 105 horas (estudio); 25 horas (redacción informe).

## 3. Información histórica, antecedentes del caso y datos antemortem:

### 3.1. INFORMACION HISTORICA:

Las referencias del proceso judicial por la desaparición de CAD (FOTOGRAFIA 1) orientan a pensar que fué asesinado por disparos de arma de fuego a cargo de falangistas locales y que su cadáver pudo ser echado al agua en la desembocadura del Rio Arnoia al Río Miño. Uno de los testigos de éste proceso judicial (César Montero) declara:

*“Que el César Alberte era un hombre de orden, opuesto en la política local al que fué Alcalde y actualmente Delegado Gubernativo D. Evencio Alvarez Bangueses, por disgustos que con éste había tenido porque el D. Evencio no lo había querido pagar un aumento de sueldo que le habían prometido, siendo el César portero del Ayuntamiento. Que, si bién no lo puede afirmar, porque nó tiene pruebas de ello, en su conciencia está que el inspirador de la muerte del Cesar Alberte ha sido el padre de los hermanos Alvarez, D. Evencio, quizá porque el César sabía irregularidades del Ayuntamiento y sacándole de en medio se libraban de uno que sabía tanto como ellos”.*

En el mismo procedimiento judicial consta el informe de Perfecto Álvarez realizado por encargo del Xefe Local de F.E. de las J.O.N.S en el que relataba que *“el mencionado Cesar Alberte Domínguez venía teniendo una conducta social sospechosa, por cuanto visitaba centros de resistencia, estando afiliado a alguno de ellos, y políticamente se distinguía en propagandista de dicha política calificado en esta localidad con el nombre de “Largo Caballero”, por ser de afirmaciones proletarias”.*

FOTOGRAFIA 1: Portada del procedimiento judicial militar abierto para la investigación de la desaparición de César Alberte Domínguez.

70.893  
Nº Orden 91  
Luzo 6

144 B

LAZA DE ORENSE Año de 1936

Juzgado Militar Eventual

Sumario núm. 1334  
Rollo núm. 2271  
23755

Causa

144 B

1936

contra Julio Alvarado Fernández  
Antonio Alvarado Fernández  
Estilo Fernández Rodríguez

por

el delito de desaparición de César Alberto Domínguez

Ocurrió el hecho el 25 de Noviembre de 1936  
Dieron principio las actuaciones el 4 de Diciembre de 1936  
Preso en de de 19  
En libertad provisional el de de 19

JUEZ INSTRUCTOR : SECRETARIO

D. Ramón Ulloa Sotelo COMANDANTE DE INFANTERÍA O Frº Comandante de Infantería D. Antonio Souto González O Frº D. Rogelio Hermida O Frº	D. Manuel Casado Nieto DE LA CARRERA FISCAL O Frº Substituto Antonio Dotamp Rodríguez O Frº D. Manuel Rodríguez O Frº
---	---

Razon her l

CAD fué nombrado concejal del concello de Arnoia con fecha 24-2-1936.

### 3.2. ANTECEDENTES DEL CASO:

De la investigación de las circunstancias del caso realizada en 2011, destacamos los siguientes datos:

Con fecha 19-4-11 se mantiene conversación con la hija de Cesar Alberte Domínguez, Dña CARMEN ALBERTE ALBERTE de 92 años de edad que contaba con 17 años en 1936. Dice que recuerda bien cuando se llevaron a su padre. Su padre había salido elegido concejal por el PSOE en Arnoia. Eran las dos de la madrugada del día siguiente al San Martiño (posiblemente el 12 de noviembre de 1936). Los que vinieron a buscarle eran vecinos (algunos también parientes), falangistas que habían estado comiendo y bebiendo en la fiesta. Llegaron a casa y le dijeron a su padre que fuera con ellos al 'centro' a tomarle declaración. El hijo mayor les dijo que viniera la Guardia Civil a buscarle para que le tomaran declaración, pero que con ellos no iba. Lo llevaron a la fuerza y no supieron más de él hasta que apareció el cuerpo en Filgueira. Fue denunciada su desaparición ante la Guardia Civil y consta la existencia de un proceso judicial por la desaparición. Carmen dice que tiempo después le llegaron algunos comentarios que afirmaban que su padre fue atado con unas cuerdas y llevado a rastras hasta el puente Queixeira (en la desembocadura del río Arnoia en el Miño).

Según Carmen, una señora de Louredo que andaba en el contrabando de Portugal encontró el cuerpo en la orilla del Miño en Filgueira. Dice que el cuerpo estaba hinchado pero que reconoció perfectamente a César. Carmen recuerda que hace unos años en el entierro de un conocido en Filgueira, Manuel uno de los hijos del cantero se le acercó y le dijo 'aí debaixo das escaleiras está teu pai'. Carmen recuerda que se puso muy nerviosa.

Según Manuel Fernández Alberte -nieto de CAD-, Manuel -un cantero de la zona- y sus hijos (Manuel y otro de nombre no conocido por el informante) ayudaron a enterrarlo. Hablaron con el cura de Filgueira que les dijo que no les autorizaba a enterrarlo en el cementerio, pero que tampoco se lo impediría ('que no quería saber nada'). La familia de canteros tapó el cuerpo con unas ramas y esperó a la noche para enterrarlo. Mientras el padre abría el hueco bajo las escaleras, los hijos subieron el cuerpo por la noche (unos 400 metros).

El nieto de CAD aporta la siguiente documentación e información del caso: su madre e hija de CAD, Carmen Alberte Alberte insta un procedimiento judicial en 2007<sup>2</sup> para inscribir la defunción de su padre ante el Registro Civil de Arnoia incribiéndose el 3-4-2008 un asiento en la hoja de nacimiento de CAD (margen izquierdo) donde consta la defunción de César Alberte Dominguez. En el certificado de nacimiento de Carmen Alberte Alberte figura la firma de su padre que reproducimos en este texto como FOTOGRAFIA 2. El 10-7-2009 el Ministro de Justicia del Gobierno de España emite una declaración de reparación y reconocimiento personal por haber sufrido persecución y violencia por razones políticas e ideológicas.

Debajo de las escaleras del cementerio nuevo el informante excavó en dos ocasiones en 2011 por orden del Juzgado de Instrucción nº1 de Ponteareas (DP 37/2011) confirmando mediante estudios genéticos que ninguno de los cuerpos hallados era el de César Alberte Dominguez. Investigaciones posteriores realizadas por el Instituto de Estudos Minhoranos permitieron entrevistar a uno de los enterradores de Filgueira quien afirmó que César estaba enterrado en el exterior de la cabecera de la Iglesia y no debajo de las escaleras.

Del trabajo de entrevistas realizado por HISTAGRA se aporta lo siguiente:

*...tamén mantivemos outra conversa con Eduardo Estévez Blanco, veciño de Filgueira de 88 anos (nado en 1934), que ademais pertenceu á comunidade de montes da aldea. Neste caso deunos información sobre o que el recordaba sobre o cemiterio -a este respecto, foi a propia comunidade e en concreto el, persoalmente, os que se encargaron de xestionar a construción da parte máis moderna do cemiterio-, dándonos algunhas indicacións sobre a disposición do mesmo. Van apuntadas para telas presentes, e son as seguintes:*

*-Que o cemiterio orixinal da parroquia estaba comprendido pola parte máis antiga do actual, isto é, entrando no recinto da igrexa, á esquerda da mesma, a parte máis próxima á entrada ao recinto; se miramos de fronte ao camposanto, sería a parte, de novo, máis á esquerda, sen chegar ás escaleiras de acceso, aquelas nas que se levou a cabo a escavación no ano 2011. Pero tamén a parte entre esa zona e a igrexa, ou o que é o mesmo, a zona de terra que hoxe se atopa entre o lateral da igrexa e o acceso ao cemiterio.*

*-Que eses corpos que se atopaban enterrados entre a igrexa e a o cemiterio como o coñecemos hoxe, foron trasladados cando se fixeron as obras de ampliación, sendo inhumados de novo cando estas finalizaron.*

<sup>2</sup>Expediente para la declaración de fallecimiento de César Alberte Domínguez del Juzgado de Primera Instancia de Ribadavia (213/07).

-Que, segundo a súa testemuña, esas obras comezaron no ano 1941 coa chegada dun novo párroco á parroquia, incluíndose nestas a construción das escaleiras de acceso, as mesmas que foron escavadas hai dez anos e nas que se acabaron por atopar restos de dúas persoas.

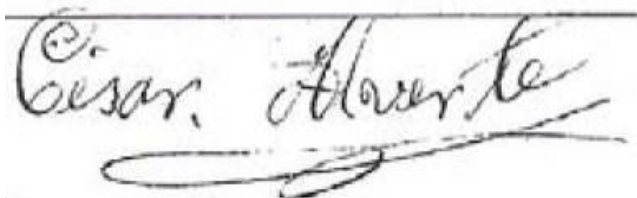
-Que na parte posterior da igrexa tamén se levaban a cabo enterramentos, neste caso de cativos que finaban, polo que non era unha zona libre de inhumacións, se non que se empregaba ao igual que o lateral da igrexa mencionado. E que eses corpos de nenos nunca foron exhumados e trasladados ao cemiterio, polo que os restos deberían permanecer alí enterrados aínda nos nosos días.

-Que segundo as poucas referencias coas que el conta, o corpo de César Alberte Domínguez foi enterrado alí, o que se corresponde coas últimas referencias coas que contabamos, asegurando ademais, de novo, que non se puido levar a cabo debaixo das escaleiras de acceso ao cemiterio porque, reitera, a súa construción é posterior.

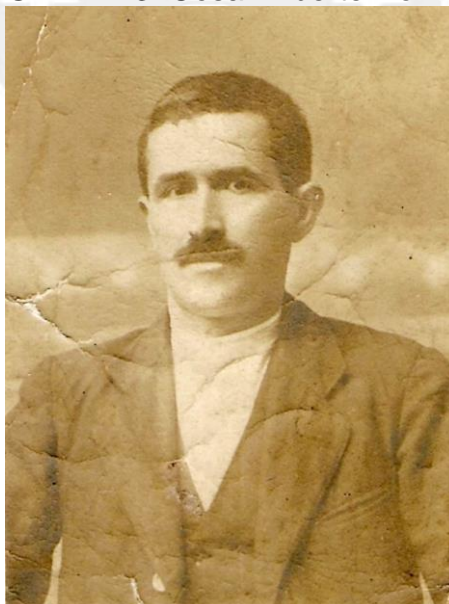
### 3.3. DATOS ANTEMORTEM:

Cesar Alberte Domínguez nació el 3-2-1884, por lo que en noviembre de 1936 cuando murió, tenía 52 años. La muerte pudo haber ocurrido el 25 o 26 de noviembre de 1936. Según la familia medía unos 175 cm de altura, era de complexión ancha, no padecía enfermedad importante ni recuerdan hubiera roto ningún hueso, aunque dicen que sí tuvo algún problema en una muñeca. Dicen que fue portero, carpintero y concejal. No saben si sabía o no nadar. La FOTOGRAFIA 2 muestra la firma de CAD. La FOTOGRAFIA 3, muestra imagen de CAD facilitada por la familia.

FOTOGRAFIA 2: Firma de César Alberte Domínguez obtenida de la inscripción del nacimiento de su hija en el Registro Civil de Arnoia.



FOTOGRAFÍA 3: César Alberte Domínguez.



#### 4.Excavación y exhumación: intervención antropológico-forense:

El equipo arqueológico decide abrir un sondeo en la zona posterior de la Iglesia de San Pedro de Filgueira (Crecente) inicialmente de 6x3 m, después ampliado a 8x3 m, en las coordenadas X: 566283 Y: 4673667 (ETRS, Huso 29N) a unos 145 msnm. En las FOTOGRAFIAS 4, 5 y 6 se muestra el lugar de intervención. Tras retirar la capa vegetal (UE1) se define la UE2 como una tierra homogénea con bolsas de sábrego de unos 50 cm de potencia en la que aparecen fragmentos de huesos descontextualizados, interpretándose ésta UE2 como un nivel de relleno. El equipo arqueológico decide abrir una calicata en la zona norte del sondeo de 2x3 m, donde se observa una acumulación de cráneos en la esquina SW de la calicata entre 10-30 cm de potencia.

FOTOGRAFIA 4: Fotografía cenital de la Iglesia de S Pedro de Filgueira con indicación del área de intervención (rectángulo blanco). El rectángulo rojo muestra el lugar de intervención de 2011. La flecha blanca indica el Norte. Fotografía TEMPOS ARQUEOLOXIA.



FOTOGRAFIA 5: Área de intervención. UE 01.



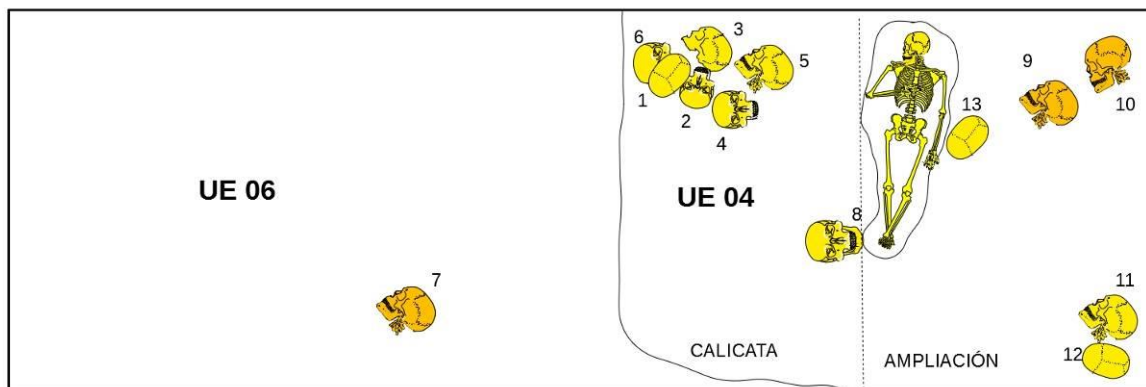
FOTOGRAFIA 6: Area de intervención con la calicata abierta mostrando los cráneos acumulados.



FOTOGRAFIA 7: Acúmulo de cráneos en la calicata (UE 02).

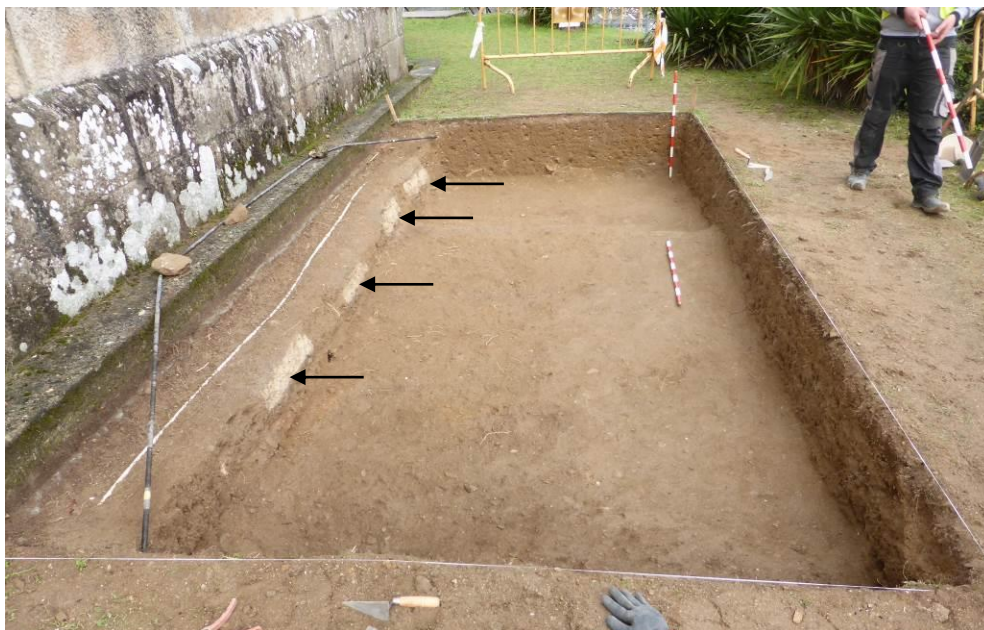


GRAFICO 1: Croquis indicativo del lugar aproximado de aparición de los diferentes cráneos con disposición del INDIVIDUO 1. En amarillo los cráneos de la UE04, en naranja los de la UE02 (7,9 y 10). Los cráneos no están a escala. Basado en la planimetría cedida por TEMPOS ARQUEOLOXIA.



2 m

FOTOGRAFIA 8: Perfil oeste con marcas rectangulares claras (flechas).



El perfil oeste muestra 4 zonas del terreno de color beis claro rectangulares que según el Arqueólogo director se sitúan entre las zonas de enterramientos detectadas en las que no se han hallado restos óseos (FOTOGRAFIA 8). En el perfil norte se observa un fragmento de hueso frontal descontextualizado con orificio irregular de unos 2 cm de diámetro y bajo el mismo se observa varios metatarsianos con una tibia en posición primaria y aparente buen estado de conservación (FOTOGRAFIA 9).

FOTOGRAFIA 9: Detalle del perfil norte en el que se observa la aparición de una pierna y un pie en posición primaria.



El hallazgo de éste pie/pierna en posición primaria obliga a extender la excavación dos metros más hacia el norte, hallando un individuo en posición primaria no funeraria y otros restos descontextualizados, tal y como se representa en la FOTOGRAFIA 10. Los GRAFICOS 2 y 3 muestran en croquis la posición en la que fue hallado el INDIVIDUO1.

FOTOGRAFIA 10: Individuo en posición primaria no funeraria. Individuo 1.



GRAFICO 2: Croquis Individuo 1 en planta.

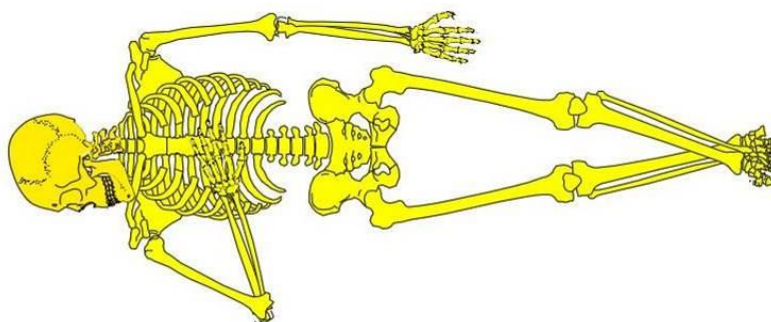
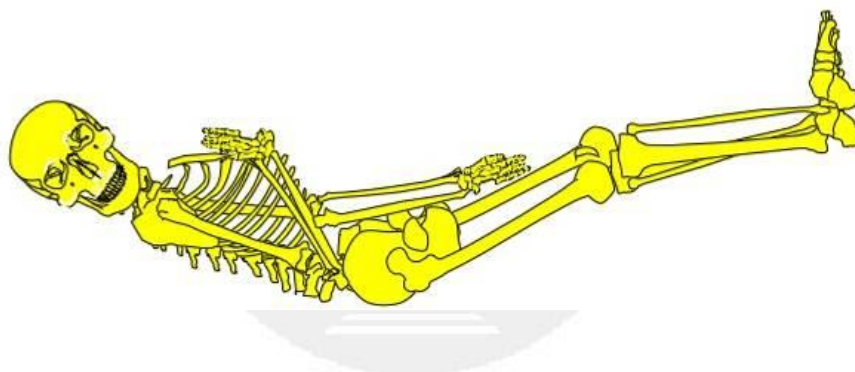
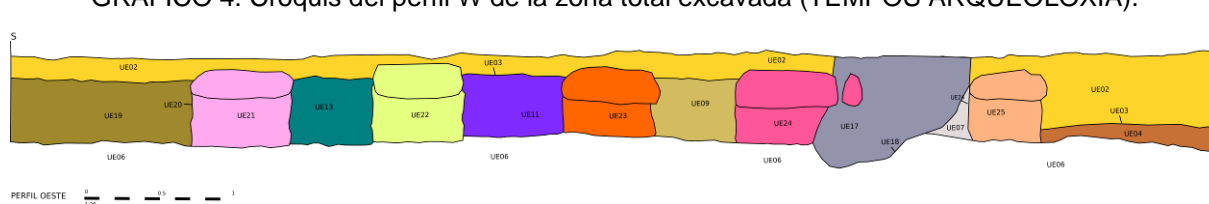


GRAFICO 3: Croquis Individuo 1 en perfil.



De acuerdo con la Memoria Arqueológica se definen las UEs expresadas en el GRAFICO 4 que muestra el perfil W en sección N-S. En el referido GRAFICO 4 se muestra la anomalía estratigráfica que forma la excavación donde ha sido hallado el INDIVIDUO 1 (UE 17 y UE18).

GRAFICO 4: Croquis del perfil W de la zona total excavada (TEMPOS ARQUEOLOXIA).



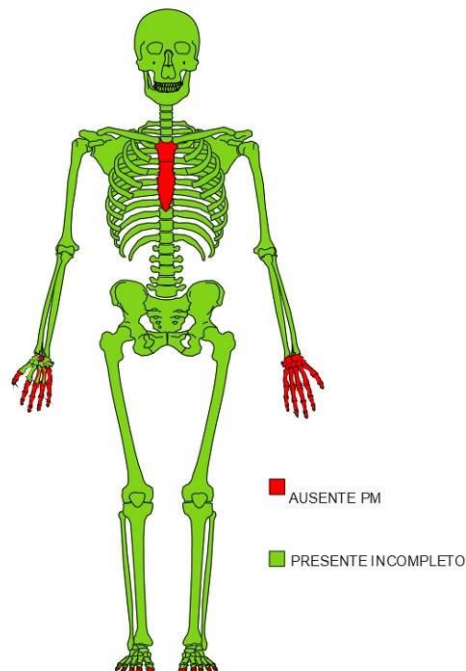
## 5. Resultados:

### 5.1. RESULTADOS ESTUDIO INDIVIDUO 1:

#### 5.1.1. ESTADO DE CONSERVACION E INVENTARIO:

El cráneo está muy fragmentado (especialmente los huesos faciales que no es posible recuperar ninguno completo) y en mal estado de conservación (MEC) mostrando importante degradación tafonómica en la tabla externa y conservando una moderada fragilidad. El maxilar inferior también está casi completo con importante degradación en tabla externa, conservando en el alveolo solo algunos. Se conservan en MEC muchos dientes (ver odontograma). Solo se conservan casi completas C1 y C2, el resto de vértebras cervicales están fragmentadas y posiblemente no se conserven todas. Ambas clavículas están presentes, fragmentadas e incompletas. No se conserva el esternón. Se conservan un gran número de fragmentos costales. Húmero D presente, incompleto y en MMEC. Húmero I presente, incompleto y en MEC. Se conservan presentes e incompletos tres cuerpos vertebrales dorsales y alguno lumbar y sacro todos en MEC. Coxales presentes, incompletos y en MEC. Presentes radio y cubito derechos en MEC. Cúbito y radio I presentes, incompletos y en MEC. Se conservan de la mano 2 huesos carpales, 2 MCP y 6 falanges. Fémures presentes, incompletos y en MEC. Rótula D presente en MMEC. Rótula I presente e incompleta. Presentes tibias y peronés, pero los izquierdos están en MEC. Se conservan todos los huesos del pie derecho excepto falanges y del izquierdo casi todos menos algunas falanges.

GRAFICO 5: INVENTARIO GRAFICO.



INDICE DE PRESERVACION OSEA: 55% (huesos casi completos)

ESTADO DE AFECTACION TAFONOMICA: 67%

#### 5.1.2. ODONTOGRAMA:

INFORME DENTAL SOBRE DENTADURA PERMANENTE			
11	PRESENTE, Desgaste 2/5, solo conserva <u>mitad</u> de raiz (MEC)	AUSENTE POSMORTEM	21
12	PRESENTE, Desgaste 1/5, solo conserva 2/3 de raiz (MEC)	PRESENTE, Desgaste 2/5, solo conserva 2/3 de raiz (MEC)	22
13	PRESENTE, Desgaste 2/5, raiz <u>entera</u> (MEC)	PRESENTE, Desgaste 2/5, solo conserva 1/2 de raiz (MEC)	23
14	PRESENTE, Desgaste 1/5, solo conserva 1/3 de raiz (MMEC)	PRESENTE, Desgaste 1/5, solo conserva 2/3 de raiz (MEC), caries.	24
15	PRESENTE, Desgaste 1/5, <u>en alveolo</u> .	PRESENTE, Desgaste 1/5, (MEC) caries corona distal	25
16	PRESENTE, Desgaste 2/5, <u>en alveolo</u> .	PRESENTE, Desgaste 1/5, (MEC)	26
17	PRESENTE, Desgaste 1/5, <u>en alveolo</u> .	PRESENTE, Desgaste 1/5, solo conserva 1/2 de raiz (MEC)	27
18	PRESENTE, Desgaste 1/5, <u>en alveolo</u> , <u>retracción</u> alveolar de 4 mm	PRESENTE, Desgaste 2/5, raiz <u>entera</u> (MEC)	28

18	17	16	15	14	13	12	11	21	22	23	24	25	26	27	28

48	PRESENTE, Desgaste 1/5	PRESENTE, Desgaste 2/5 <u>en alveolo</u> y MEC	38
47	PRESENTE, Desgaste 1/5, caries corona.	PRESENTE, Desgaste 2/5, <u>en alveolo</u> , <u>retracción</u> de 2 mm	37
46	AUSENTE ANTEMORTEM	AUSENTE ANTEMORTEM	36
45	PRESENTE, Desgaste 1/5 <u>en alveolo</u>	PRESENTE, Desgaste 1/5, solo conserva 1/2 de raiz (MMEC)	35
44	PRESENTE, Desgaste 1/5 <u>en alveolo</u> .	PRESENTE, Desgaste 1/5, solo conserva 1/2 de raiz, caries (MEC)	34
43	PRESENTE, Desgaste 1/5, raiz 1/2 preservada.	PRESENTE, Desgaste 2/5, solo conserva 1/3 de raiz (MMEC)	33
42	PRESENTE, Desgaste 2/5, <u>calculos</u> cuello MMEC	PRESENTE, Desgaste 2/5, solo conserva 2/3 de raiz (MEC)	32
41	PRESENTE, Desgaste 2/5, <u>calculos</u> , MEC, raiz <u>entera</u> .	PRESENTE, Desgaste 2/5, raiz <u>completa</u> , <u>calculos</u> , (MEC)	31

Caries	Ausencia PM	Ausencia AM	Composite	Amalgama	C Estética	C Metálica	Corona Oro	Sano	Cierre espacio	Diestema	Rotación

Se remiten al laboratorio de genética los dientes: 13, 28, 15, 16, 17 y 18.

### 5.1.3. ESTUDIO DEL SEXO EN EL CRANEO Y PELVIS:

PARAMETRO	CODIGO	SEXO
Menton	-1	F
Mastoides	0	AF
Lineas nucales	+2	HM
Condilos	+1	M
Prot Occipital Externa	+2	HM
Foramen Magnum	+2	HM
Dientes	0	AF
Angulo Mandibular	-1	F
Cuerpo Mandibular	+1	M
Escotadura Ciática	+1	M
Surco preauricular	+2	HM
L Clavicula (138-150) (138 mm)	0	AF
DMVC Humeral (37-44,7) 42 mm	0	AF
DMVC Femoral (43-48) 44	0	AF
<b>ESTIMACION GLOBAL</b>		<b>VARON</b>

### 5.1.4. ESTUDIO DE LA EDAD:

Meindl-Lovejoy: Bóveda: 11 puntos Rango edad: 28-44 Media: 39,4 años  
 Schmitt: 1-2-1-2: Rango 30-59: 40-49 al 25% y 50-59 al 22%  
 Lovejoy: Fase 5 (40-44)  
 Lamendin: Rango 45-62 (50)  
 Sacro: Se observa fusión incompleta de S1-S2 por la parte posterior (muy degradado el hueso).

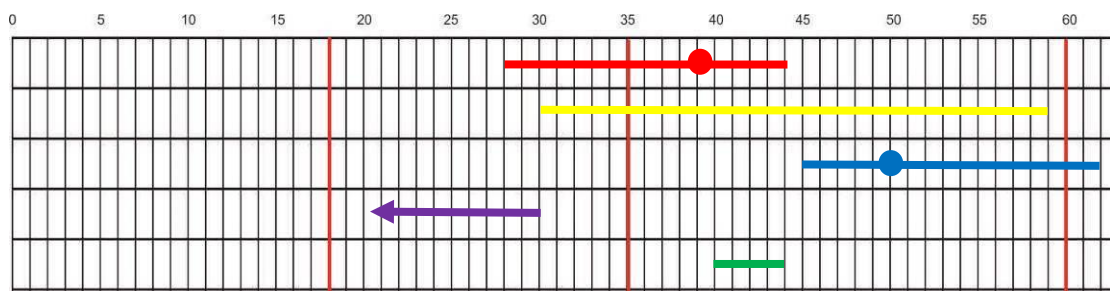
FOTOGRAFIA11: Faceta auricular ileon y escotadura ciática.



FOTOGRAFIA 12: Fragmento sacro incluyendo S1-S2 (zona posterior).



METODO	FASE	RANGO	COLOR
Meindl-Lovejoy		28-44 (39,4)	Red
Schmitt	1-2-1-2	30-59	Yellow
Lamendin		45-62 (50)	Blue
Fusion S1-S2	Fusión incompleta	<30	Purple
Lovejoy	5	40-44	Green
<b>ESTIMACION EDAD</b>		<b>35-55 años</b>	



5.1.5. ESTUDIO DE LA TALLA: Lmax Femur I: 430 mm; Lmax Húmero I: 302 mm. TALLA ESTIMADA: 161 cm (femur, Mendonça) 158 cm (humero, Mendonça).

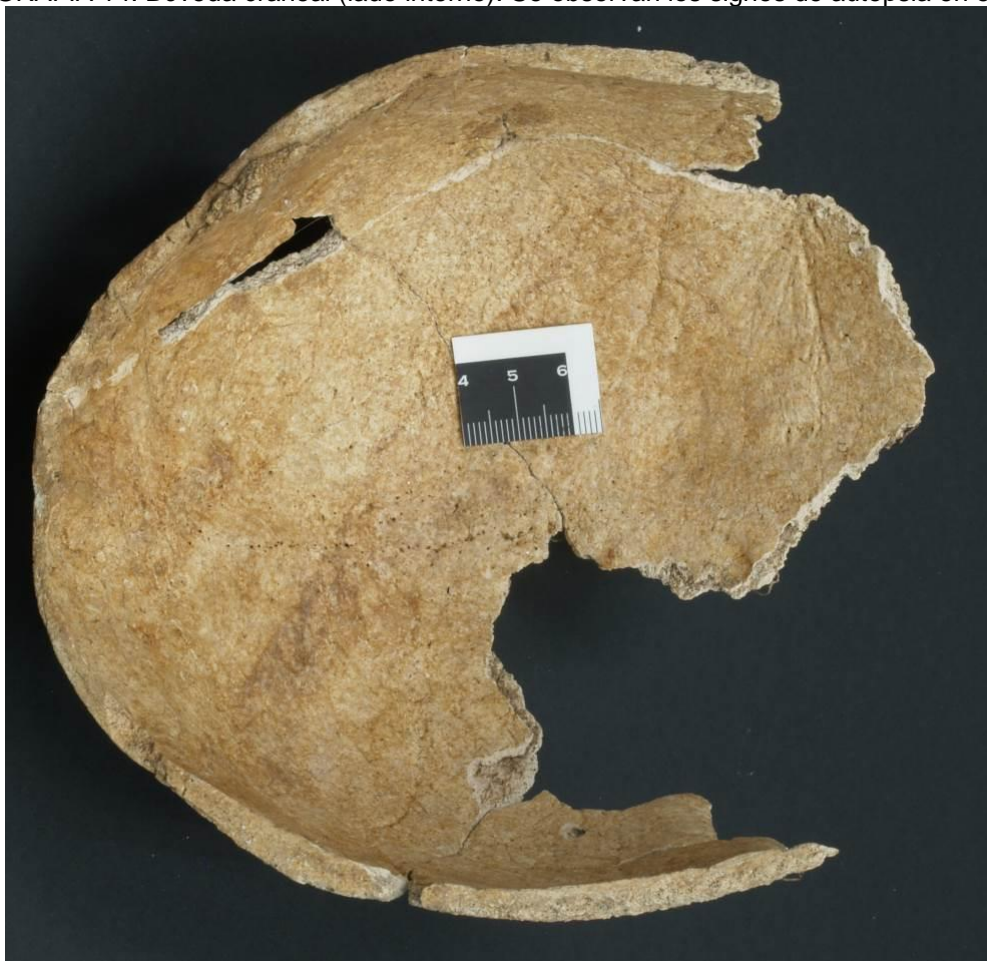
#### 5.1.6. DESCRIPCION RESTOS:

Llama la atención que en los restos conservados del cráneo se observan signos de apertura forense del cráneo (signos de autopsia). El cráneo está bastante incompleto especialmente el esplacnocráneo y con importante degradación de la tabla externa. Llama también la atención la diferente degradación de unos huesos frente a otros. Es particularmente llamativo en los húmeros, pero también en las tibias. Destacar también la existencia de multitud de pequeños fragmentos correspondientes con el alto grado de fragmentación de todo el esqueleto. Las FOTOGRAFIAS 13 a 20 muestran el aspecto general y estado de conservación de algunos restos.

FOTOGRAFIA 13: Restos de la bóveda craneal.



FOTOGRAFIA 14: Bóveda craneal (lado interno). Se observan los signos de autopsia en el borde.



FOTOGRAFIA 15: Detalle del corte final posterior con ruptura del diploe. Empleo de sierra.



FOTOGRAFIA 16: Base craneal cara interna.



FOTOGRAFIA 17: Disposición de los restos sobre la mesa.



FOTOGRAFIA 18: Rama horizontal mandibular izquierda con importante degradación tafonómica.



FOTOGRAFIA 19: Degradación diferencial de ambos húmeros.



FOTOGRAFIA 20: Estado de conservación de los dientes sueltos.



#### 5.1.7. LESIONES HALLADAS:

Se detectan las siguientes lesiones:

5.1.7.1. FRACTURA PERIMORTAL LAMINA BASILAR: En el fragmento conservado de la base del cráneo existen muchas fracturas con claros signos posmortem, sin embargo en la lámina basilar algunas de las fracturas conservan color de pátina y patrón de fractura compatible con lesión perimortal (FOTOGRAFIA 20). Algunas otra zonas próximas muestran los mismos signos.

FOTOGRAFIA 20: Fractura perimortal de la base del cráneo (flecha roja).



**5.1.7.2. FRACTURA PERIMORTAL EN APOFISIS TRANSVERSA DERECHA DEL AXIS:** Se observa fractura de las apófisis transversa izquierda de C2 con afectación de la superficie articular atlo-axoidea y ausencia de fragmentos. Los arcos vertebrales están íntegros. Compatible con lesiones por disparo de arma de fuego cuyo proyectil pudo pasar muy cerca produciendo lesión muscular y arrancamiento de la apófisis y borde articular (FOTOGRAFÍAS 21-22).

FOTOGRAFÍAS 21-22: Axis (C2) vista de frente (izquierda) y superior (derecha). Las flechas rojas indican el arrancamiento de la apófisis transversa.



**5.1.7.4. ESPONDILOARTROSIS DORSAL:** En los pocos cuerpos vertebrales conservados se observan discretos signos de deformidad artrósica.

**5.1.7.5. FRACTURA COSTAL COMPATIBLE CON ENTRADA DE PROYECTIL DE ARMA DE FUEGO:** En un fragmento costal se observa una pérdida de sustancia en forma de arco con aspecto perimortal de la pátina, sin radios de fractura ni astillamientos de los bordes que interpretamos como compatible con orificio de entrada de proyectil de arma de fuego cuyo proyectil pudo pasar cerca del borde costal sin impactar de lleno en el hueso (FOTOGRAFIA 23). El fragmento costal impresiona de

ser un arco costal medio derecho, estando situada la lesión en la zona del costado derecho del tórax.

FOTOGRAFIA 23: Fragmento costal con posible lesión por arma de fuego.



5.1.7.6. PERIODONTITIS LEVE: En los maxilares examinados se observa retracción alveolar de unos 2-3 mm compatible con enfermedad periodontal leve.

## 5.2. RESULTADOS RELATIVOS A LOS RESTOS OSEOS DISPERSOS:

Para la exposición ordenada de éstos resultados mostramos en primer lugar el estudio de los cráneos hallados para a continuación los demás restos hallados.

5.2.1. BOLSA 23 CRANEO 1 UE 04: Se trata de una calvaria en MEC con todas las suturas visibles cerradas significativamente y signos de fracturas posmortem en todos sus bordes de fractura. Tiene una L max de 171 mm y una anchura máxima de 140 mm. La bolsa contiene también un fragmento de temporal D y otro I con peñascos, en MEC, suturas occipito-temporales abiertas y con signos de fracturas posmortem. También contiene la bolsa un fragmento de bóveda y de base de cráneo con signos de fracturas posmortem. Estimaciones: Individuo adulto maduro (35-50 años).

5.2.2. BOLSA 24 CRANEO 2 UE 04: Fragmento de bóveda en MEC con signos de fracturas posmortem (PM). Sutura coronal sin fusionar. Hueso frontal grueso (10 mm) sin signos de hiperostosis frontal interna. Incluye peñasco izquierdo. Estimaciones: Individuo adulto maduro (35-50 años).

5.2.3. BOLSA 25 CRANEO 3: Contiene un fragmento de bóveda en MEC con signos de fracturas PM, suturas con cierre incompleto, fragmento de temporal derecho con mastoides de aspecto hipermasculino, fragmento de peñasco izquierdo, fragmento de bóveda y base con sutura lambdoidea sin cerrar. Estimaciones: Adulto joven, posible varón.

5.2.4. BOLSA 26 CRANEO 4: Contiene: bóveda incompleta de Lmax: 183 mm, Amax: 131 mm, glabella, reborde supraorbitario y borde orbitario (+2). Se encuentra en MEC con todas las suturas cerradas significativamente excepto la coronal. Los fragmentos muestran todos aspecto de fracturas PM. Toda la bóveda está en aceptable estado de conservación. La bolsa contiene también un fragmento ttemporo-esfenoidal

D sin fusión de suturas (ni occipital ni esfenoidal inferior), con signos de fracturas perimortem en esfenoides y temporal (zona articular). Mastoides (+2). Fragmento de esfenoides con signos de fracturas perimortem. Fragmento tèmpero-esfenoidal izquierdo sin fusión en sutura lambdoidea ni esfenoidal y con signos de fracturas perimortem en suturas y zonas esfenoidales. Se conserva también la lámina basilar unida a los 2/3 anteriores del orificio occipital con fracturas perimortem y signos de fracturas PM. Contiene también un fragmento de escama occipital con líneas nucales masculinas (+1) y protuberancia occipital externa masculina (+1), con signos de fracturas PM. Contiene también un fragmento de bóveda craneal (parietal) con signos de fracturas PM. Múltiples fragmentos de bóveda con signos de fracturas PM y de base con malar izquierdo que presenta signos de fracturas perimortem; algunos de estos fragmentos tienen color marrón oscuro, mientras otros tienen color beis claro. Contiene también un fragmento de escápula con glenoides de diámetro transversal de 25 mm y discretos signos de artrosis. Contiene también un fragmento de maxilar superior derecho con fragmentos de malar unidos parcialmente con fracturas perimortem; se conserva alveolo de 13 pero en 11 y 12 hay signos de osteítis activa; pérdida antemortem de 14 y 15. Fragmento de cabeza humeral de diámetro estimado de 38-40 mm. Estimaciones: Varón adulto maduro (35-45 años), con signos en el cráneo de traumatismo de alta energía, compatible con disparo de arma de fuego.

FOTOGRAFIA 24: Algunos fragmentos del CRANEO 4 que muestran signos de estallido craneal compatible con traumatismo de alta energía (disparo de arma de fuego, flechas rojas) y fracturas posmortem.



FOTOGRAFIA 25: Fragmentos CRANEO 4 algunos con fracturas perimortem y la mayor parte con roturas posmortem con marcadas diferencias de coloración.



5.2.5. BOLSA 27 CRANEO 5 UE 4: Contiene: Maxilar inferior edéntulo con avanzada periostitis, en MEC, con signos de fracturas PM, con zona de deformidad en zona de los molares y hueso de aspecto muy porótico (baja densidad mineral). El maxilar tiene una Lmax de 95 mm, Angulo mandibular de  $51^{\circ}$ , anchura rama horizontal de 9,7 mm y de rama vertical de 24 mm. Contiene también un fragmento esfenotemporal izquierdo fusionado por la tabla interna en MEC y con signos de fracturas PM. Fragmento de peñasco D en MMEC con mastoide hiperfemenina (-2). Malar izquierdo unido a un fragmento de maxilar superior con seno maxilar y parte de la órbita de aspecto masculino. Fragmento frontal con huesos propios y glabella hiperfemenina. Fragmento de borde superior orbitario izquierdo (hueso frontal) de borde hiperfemenino. Se conservan grandes fragmentos de C1, C2, C3, C4, C5, C6, C7, D1 y D2, todas en MEC con signos de fracturas PM, color oscuro y signos de avanzada artrosis. Estimaciones: Mujer adulta senil.

5.2.6. BOLSA 28 CRANEO 6 UE 04: Contiene un conjunto de fragmentos de bóveda con signos de fracturas perimortem. En uno de ellos se observa un orificio incompleto de salida de proyectil de arma de fuego. Todas las suturas observables están en fase inicial de fusión. Algunos fragmentos tienen algunos bordes con signos de roturas PM. Contiene también fragmentos de base de cráneo y faciales con signos de fracturas perimortem. Se observan como de aspecto femenino ambas mastoides unidas a sus peñascos. Se conserva la lámina basilar y los cóndilos con discreta artrosis. Se conserva también axis incompleto. Hay un fragmento esfenotemporal sin fusión de la sutura, un fragmento del maxilar superior que contiene 14, 15 y 18, pérdida antemortem del 16 y 17 (éste último pérdida reciente). Los dientes no muestran desgaste alguno y existe discreta periodontitis. Se conserva un fragmento de la órbita D con borde orbitario, protuberancia supraorbitaria y glabella masculinos y criba orbitaria. El fragmento de la órbita izquierda muestra signos masculinos y también criba orbitaria.

Se conserva un fragmento de peñasco izquierdo. Algunos fragmentos parietales de la bóveda muestran signos discretos de hiperostosis porótica. Estimaciones: Adulto joven, varón con signos de traumatismo de alta energía por proyectil de arma de fuego. La hiperostosis porótica parietal y la criba orbitaria evidencian signos de estrés ambiental marcado (déficit nutricional). FOTOGRAFIAS 26-29.

FOTOGRAFIA 26: Fragmentos de la bóveda con signos de fracturas perimortem (estallido craneal por disparo de arma de fuego). El fragmento de arriba a la derecha muestra parte de un orificio de salida de proyectil de arma de fuego (FOTOGRAFIA 27).



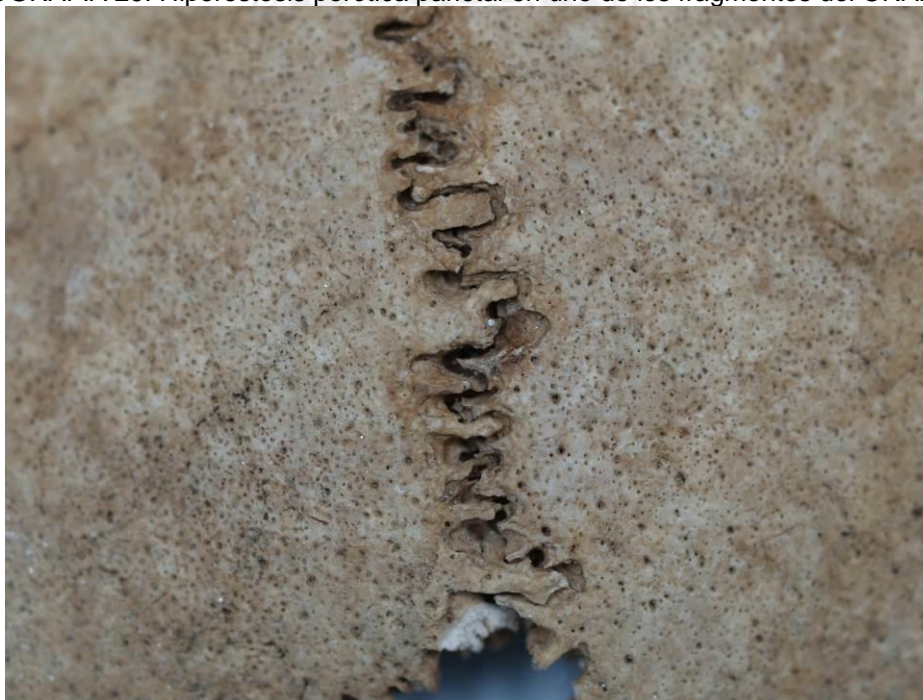
FOTOGRAFIA 27: Fragmento parietal con parte de un orificio de salida de proyectil de arma de fuego.



FOTOGRAFIA 28: Criba orbitaria del CRANEO 6, signo de déficit nutricional.



FOTOGRAFIA 29: Hiperostosis porótica parietal en uno de los fragmentos del CRANEO 6.



5.2.7. BOLSA 21 CRANEO 7: Contiene: un fragmento parieto-occipital derecho en MMEC con un orificio de 7 mm de diámetro y caracteres perimortales con bisel interno (orificio de entrada de arma de fuego) y radios de fractura. Muestra las suturas abiertas y elevada degradación de la tabla interna y externa. El orificio está en el parietal D próximo a lambda. Se conserva también un peñasco temporal derecho con signos de fractura perimortem y fragmentos de bóveda con suturas totalmente abiertas, mastoides pequeñas. FOTOGRAFÍAS 30-31. Estimaciones: Adulto joven con signos de violencia (orificio de arma de fuego en zona occipital derecha).

FOTOGRAFIA 30: Orificio de entrada de proyectil de arma de fuego 7 mm en zona occipital D. Visión endocraneal de todo el fragmento. Degradación importante.



FOTOGRAFIA 31: Imagen macro de la zona exocraneal.

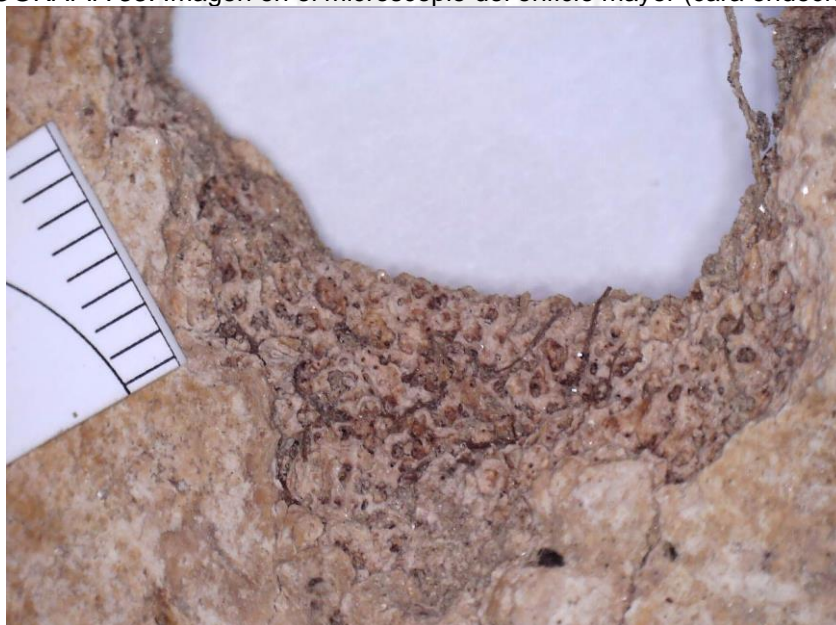


5.2.8. BOLSA 35 CRANEO 8: Contiene: fragmento frontal el MEC con dos orificios uno en el lado derecho del frontal de 21x19 mm ovalado y otro también ovalado de 20x16 mm, ambos con bisel interno. No muestran radios de fractura pero los colores de la pátina en el mayor es de aspecto perimortal y en el menor de aspecto posmortal. Examinados al estereomicroscopio se observa importante degradación tafonómica. FOTOGRAFIAS 32-34. Estimaciones: Adulto. Los orificios se interpretan como efectos tafonómicos dada la presencia de algunos signos claramente posmortales, la degradación del hueso y la descontextualización del hallazgo (FOTOGRAFIA 34).

FOTOGRAFÍAS 32-A/B: Frontal del CRANEO 8 con orificios de origen tafonómico. Cara endocraneal (izquierda) y exocraneal (derecha).



FOTOGRAFIA 33: Imagen en el microscopio del orificio mayor (cara endocraneal).



FOTOGRAFIA 34: Hueso del CRANEO 8 hallado durante la excavación (perfil N calicata), hueso aislado sobre los pies del INDIVIDUO 1 en el relleno.



5.2.9. BOLSA 42 CRANEO 9: Contiene múltiples fragmentos en MEC con suturas sin cerrar y signos de roturas PM. Conserva el temporal izquierdo incompleto con mastoide masculina, así como el temporal derecho con peñasco y algo de escama. Estimaciones: Adulto, posible varón joven-maduro.

5.2.10. BOLSA 46 CRANEO 10: Contiene: Fragmento parietal con sutura sin cerrar, roturas PM e intensa degradación de la tabla externa. Fragmento occipital con lambda sin cerrar y protuberancia occipital externa de aspecto femenino. Múltiples fragmentos de bóveda con roturas PM y MEC. Se conservan ambos peñascos en MMEC con suturas abiertas y mastoides femeninas. Estimaciones: Adulto, posible mujer joven.

5.2.11. CRANEO 11. CAJA TAPA ROSA: Contiene: frontal incompleto con sutura coronal abierta, borde orbitario, protuberancia supraorbitaria y glabella masculinos con inclinación frontal femenina; todo el frontal en MEC. Presenta criba orbitaria y todo el hueso muestra una importante degradación tafonómica en tabla interna y signos de roturas PM y fracturas perimortem compatibles con traumatismo de alta energía. Contiene también múltiples fragmentos de bóveda con bordes de aspecto posmortal y otros de aspecto perimortal. No se observa orificio de entrada o salida de arma de fuego. Estimaciones: Adulto joven, posible varón. Traumatismo de alta energía.

FOTOGRAFIA 35: Criba orbitaria CRANEO 11 y fracturas pos y perimortem.

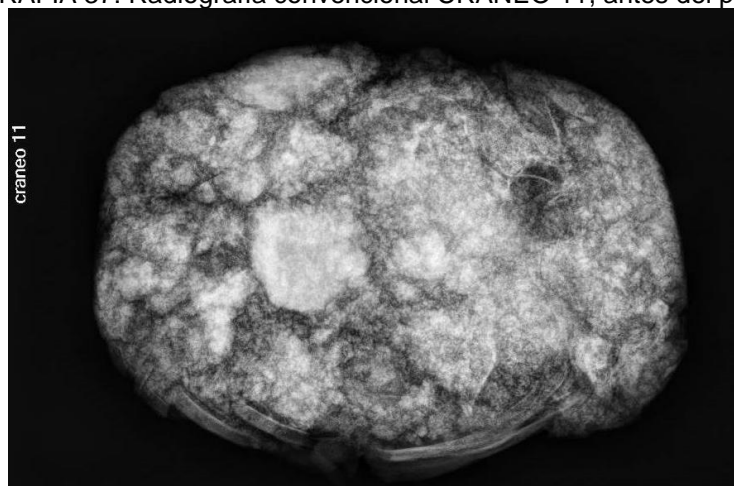


FOTOGRAFIA 36: Fragmentos de bóveda con signos de fracturas peri y posmortem.



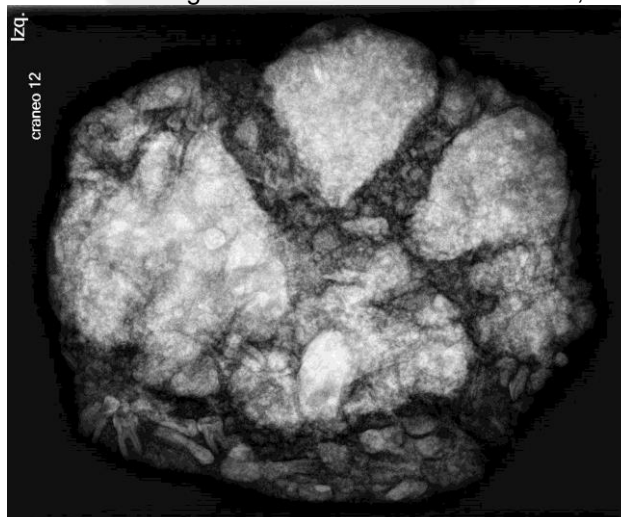
El cráneo antes de su estudio ha sido radiografiado y cribado su contenido. En el radiografiado no se han observado elementos metálicos de interés (FOTOGRAFIA 37).

FOTOGRAFIA 37: Radiografía convencional CRANEO 11, antes del procesado.



5.2.12. CRANEO 12 CAJA TAPA ROSA: Se practica radiografía convencional previa al procesado no observando datos de interés. Contiene: Fragmento temporal con peñasco izquierdo en MEC con zona de condensación ósea macroscópica y radiológica en torno al oído interno. Se observa adherido el estribo en su interior (posible otosclerosis). Fragmento temporal con peñasco derecho sin condensación ósea en oído interno. Fragmentos de bóveda en MMEC con multitud de roturas PM. Fragmentos maxilares con alveolos en MMEC y fracturas PM. Fragmento de diáfisis de hueso largo en MMEC de unos 5 cm. Se identifican los siguientes dientes: 11 (desgaste 1/5), 12 No presente, 13 (desgaste 1/5) con deterioro en raíz, 14 (íntegro), 15 y 16 (no presentes), 17 presente con caries en cuello cara mesial; 18 No presente, 21 Presente (desgaste 1/5), 22 presente (desgaste 1/5), 23 presente, 24 presente (deterioro raíz), 25 No presente, 26 presente (desgaste 1/5), 31 presente (desgaste 1/5), 32, presente (desgaste 1/5), 33 presente (desgaste 1/5), 34, presente, 35, presente, 36 presente (desgaste 2/5), 37 presente (desgaste 1/5), 38 presente, 41 presente (desgaste 1/5), 42 presente (desgaste 1/5), 43 presente, 44 presente, 45 presente, 45 presente, 46 presente (desgaste 1/5), 47 no presente, 48 presente.

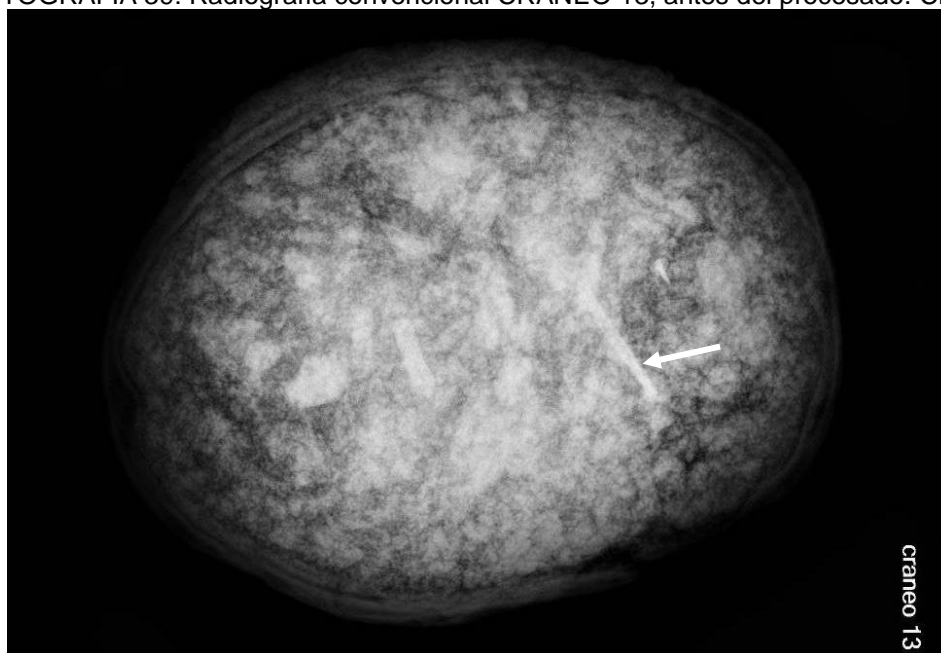
FOTOGRAFIA 38: Radiografía convencional CRANEO 12, antes del procesado.



Estimaciones: compatible con un adulto maduro con posible otosclerosis oído izquierdo.

5.2.13. CRANEO 13 (CAJA TAPA VERDE): Previo a su procesado se radiografía y criba toda la tierra de su interior. Tanto en la placa radiográfica como en el cribado se encuentra un clavo oxidado muy degradado. Se trata de una calvaria con suturas cerradas significativamente en MEC y que conserva solo el temporal izquierdo con mastoides y reborde supraorbitario masculinos con inclinación frontal femenina y líneas nucales hipermasculinas. Lmax: 188 mm; Amax 138 mm. El cráneo presenta un orificio de características posmortales. Se conserva un fragmento de temporal con peñasco derecho en dos fragmentos.

FOTOGRAFIA 39: Radiografía convencional CRANEO 13, antes del procesado. Clavo (flecha).



FOTOGRAFIA 40: Vista lateral derecha CRANEO 13.



TABLA 2: Tabla de síntesis de resultados de los cráneos descontextualizados. SV: Signos de violencia.

REFERENCIA CRANEO	DATOS DE INTERES	SV
BOLSA 23 CRANEO 1 UE 04	Adulto maduro	NO
BOLSA 24 CRANEO 2 UE 4	Adulto maduro	NO
BOLSA 25 CRANEO 3	Adulto joven, posible varón	NO
<b>BOLSA 26 CRANEO 4</b>	<b>Adulto maduro</b>	<b>SI</b>
BOLSA 27 CRANEO 5 UE 4	Adulto senil, mujer	NO
<b>BOLSA 28 CRANEO 6 UE 4</b>	<b>Adulto joven, varón, afectación nutricional</b>	<b>SI</b>
<b>BOLSA 21 CRANEO 7</b>	<b>Adulto joven</b>	<b>SI</b>
BOLSA 35 CRANEO 8	Adulto, orificios de origen tafonómico.	NO
BOLSA 42 CRANEO 9	Adulto posible varón joven/maduro	NO
BOLSA 46 CRANEO 10	Adulto posible mujer joven	NO
<b>CRANEO 11 (caja tapa rosa)</b>	<b>Adulto joven, posible varón</b>	<b>SI</b>
CRANEO 12 (caja tapa rosa)	Adulto maduro	NO
CRANEO 13 (caja tapa verde)	Adulto maduro-senil	NO

5.2.14. UE2 N°3: Contiene 2 fragmentos de diáfisis de huesos largas en MMEC

5.2.15. UE2 BOLSA 4: Fragmento de diáfisis de fémur en MMEC.

5.2.16. UE2 BOLSA 5: Fragmento de diáfisis de femur en MMEC y fragmento de peñasco izquierdo en MMEC.

5.2.17. CALICATA BOLSA 15: Restos de cortical de huesos largos en MMEC.

5.2.18. CALICATA BOLSA 13: Fragmento de bóveda craneal en MMEC con signos de roturas posmortem.

5.2.19. BOLSA 31 UE04 FALANGES ESQ: Falanges proximales (1-5) pie derecho sin signos de artrosis.

5.2.20. BOLSA 30 UE04 FALANGES DERECHAS: Falanges proximales pie derecho (1ª, 3ª y 4ª).

5.2.21. BOLSA 11-CALICATA: Pie izquierdo que pertenece al individuo 1.

5.2.22. UE2 N°2: Contiene fragmento de diáfisis en MMEC.

5.2.23. BOLSA 19 UE 2: Contiene diáfisis de tibia en MMEC, fragmento de bóveda (parietal), 3 pequeños fragmentos de bóveda y un fragmento de bóveda occipital con rotura posmortem de aspecto curvo y diámetro estimado en 15 mm (FOTOGRAFIA 41).

FOTOGRAFIA 41: Fragmentos contenidos en la BOLSA 19 UE 2.



5.2.24. CALICATA BOLSA 9: Fragmento en MEC de maxilar inferior (zona derecha con rama vertical y parte de la horizontal) sin alveolos en 47 y 48. Estimaciones: Adulto senil.

5.2.25. BOLSA 14 CALICATA: Diáfisis tibia en MMEC.

5.2.26. BOLSA 8 UE2: Fragmento muy pequeño de bóveda en MMEC.

5.2.27. BOLSA 16 UE 2: Fragmento de peroné, fragmentos de diáfisis y cortical de huesos largos en MMEC. Incluye peñasco izquierdo en MEC.

5.2.28. BOLSA 6 UE 2: Fragmento de diáfisis de fémur en MEC, Lmáx: 233 mm; Diámetro AP: 22 mm

5.2.29. CALICATA BOLSA 10: Fragmento de diáfisis de fémur y fragmentos corticales en MMEC.

5.2.30. BOLSA 17 UE2: Fragmento de diáfisis en MMEC.

5.2.31. BOLSA 32 UE04: Contiene dos diáfisis de fémures: un izquierdo de Lmax 310 mm y DAP de 28 mm y otro de Lmax 245 mm.

5.2.32. BOLSA 18 UE2: Contiene una diáfisis de fémur en MMEC, dos diáfisis de tibias en MMEC, 3 fragmentos de bóveda craneal en MMEC, 1 astrágalo incompleto en MMEC y un calcáneo incompleto en MMEC.

5.2.33. BOLSA 20: Contiene fragmento occipital con rotura posmortem, sin fusión en lambdoidea y con líneas nucales de aspecto masculino, 3 fragmentos de bóveda con signos de roturas posmortem, 3 peñascos izquierdos en MMEC e incompletos, 3 fragmentos de diáfisis de huesos largos en MMEC y pequeños fragmentos diversos de corticales de huesos largos. Estimaciones: Numero mínimo de individuos: 3. Adultos.

5.2.34. BOLSA 12 UE2 CALICATA: Contiene una diáfisis de fémur en MEC. Lmax 286 mm dAP: 24 mm.

5.2.35. BOLSA 44 UE02 FEMURES ESQ-DER: Diáfisis de fémur en MMEC (Lmax 212 y 202 mm).

5.2.36. BOLSA 41 UE2: Fragmento de diáfisis de tibia en MMEC, fragmentos de cortical de tibia en MMEC y metacarpiano incompleto.

5.2.37. BOLSA 33 UE2: Contiene mitad proximal del humero en MEC, mitad distal del húmero en MMEC, cortical de cúbito en MMEC y fragmento de astrágalo.

5.2.38. BOLSA 47 UE 2 FEMUR: Contiene diáfisis de femur D en MEC. Lmax: 287 mm; DAP: 26 mm.

5.2.39. BOLSA 54 UE17: Contiene 3 fragmentos de cortical en MMEC.

4.2.40. UE2 PARTE DE CRANEO DE BOLSA 39: Contiene fragmento de diploe (parietal) con roturas posmortem y en MEC.

5.2.41: FEMUR UE2 BOLSA 49: Diáfisis fémur en MEC. Lmax306 mm DAP:25 mm.

5.2.42: UE02 BOLSA 34: Cortical fémur en MMEC.

5.2.43: UE2 BOLSA 38: Diáfisis femur en MMEC y diáfisis fémur en MMEC con fragmento cortical en MMEC.

5.2.44: DENTES: Contiene un 27 de color verdoso sin desgaste, un tercer molar en fase G de Demirjian y dos premolares en MEC. Estimaciones: Subdulto 16-18 años.

FOTOGRAFIA 42: Dientes con tercer molar en fase G (segundo por la izquierda).



## 6. Resultados análisis solicitados:

**1)ANALISIS GENETICOS:** Del Informe MD-02-22 del Instituto de Ciencias Forenses Luis Concheiro de la USC de fecha 6-6-23 destacamos los siguientes datos:

-El Individuo 1 recuperado es genéticamente un varón.

-No se puede confirmar ni descartar la relación de parentesco entre el donante de los restos cadavéricos y el perfil genético identificado como perteneciente a Carmen Alberte Alberte.

## 2)ANALISIS DE TIERRAS:

Los resultados del informe del Instituto Agrogandeiro de Xinzo de Limia y de los estudios realizados en nuestro laboratorio se muestran en la TABLA 3

TABLA 3: Resultados de los análisis de tierras realizados. (S): Superficial; (P): Profunda; Media: media aritmética de las muestras analizadas; REL P/S: Ratio de la concentración de la muestra profunda en relación a la superficial. (\*):Valorados en UAF.

PARAMETRO	M1 (S)	M2 (P)	MEDIA	REL P/S
COLOR (*)				
HUMEDAD (*)	10%	10%	10%	1
Ph	5,78	6,33	6,06	1,10
GRANULOMETRIA (*)	ARENOSA	ARE-LIM	ARENOSA	-
PERMEABILIDAD (*)	ALTA	ALTA	ALTA	-
M. Organica calcinable (%)	3,09	3,54	3,32	1,15
Fosforo Olsen (mg/Kg)	71,99	128,83	100,41	1,79
Calcio asimilable (mg/Kg)	283,6	1044,8	664,20	3,68
Magnesio asimilable por AA (mg/Kg)	21,8	26	23,90	1,19
Potasio Asimilable (mg/Kg)	32,8	60,8	46,80	1,85
Sodio asimilable por EA (mg/kg)	116	178	147,00	1,53
CIC efectiva (meq/100 ml)	2,18	6,36	4,27	2,92
Ca/Mg	7,9	24,41	16,16	3,09
K/Mg	0,47	0,73	0,60	1,55
Ca:Mg:K	84:6:10	92:2:5	-	-

**INTERPRETACION:** Considerados tanto la ubicación: Filgueira (Crecente) (Altitud: msnm): **146 msnm**, con una **PLUVIOMETRIA MEDIA ANUAL** de **1426 mm** (HUMEDO), una **TEMPERATURA MEDIA ANUAL** de **14,6 °C(+/-)** y clasificado el lugar según la clasificación climática Koppen como **Csb** (Clima mediterráneo inviernos templados y lluviosos y veranos secos) y de acuerdo a los resultados obtenidos:

La tierra analizada es una tierra discretamente ácida, con bajos niveles de materia orgánica en ambas muestras, bajos niveles de Calcio con importante aumento,

(3,8 veces mayor concentración) en la muestra profunda, bajos de Potasio y Magnesio y muy baja/baja CIC.

Los niveles de fósforo son medio-altos en M1 y altos en M2. Aunque significativa, llama la atención la poca diferencia de los niveles de Fósforo en éstas dos muestras. Debe interpretarse en relación con el hecho -demostrado en la excavación- de haber existido relleno posiblemente con tierra del mismo cementerio.

La alta pluviometría y las características del perfil químico (bajos niveles de calcio, baja CIC) explican la pobre conservación de los huesos, el material biológico así como la extracción de ADN.

## 6. Discusión de los resultados:

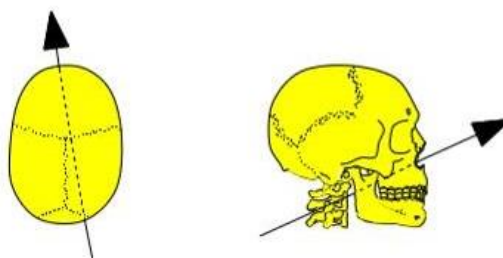
### 6.1. RELATIVA AL INDIVIDUO 1

#### 6.1.1. DATOS DE IDENTIFICACION RECONSTRUCTIVA:

El esqueleto estudiado se corresponde con un varón de 35-55 años y de una talla próxima a 160 cm. Los datos antemortem conocidos de César Alberte Dominguez son compatibles con el sexo y la edad (en el límite alto, 52 años) y no son coincidentes con la talla (175 cm) aunque esta medida es una referencia aproximada de la familia. Por ello, el perfil biológico obtenido no permite excluir a César Alberte Dominguez.

6.1.2. CAUSAS Y CIRCUNSTANCIAS DE MUERTE: La presencia de signos compatibles con **lesiones por arma de fuego**, tanto en el cuello como en el tórax nos permiten sustentar la hipótesis de que la causa de muerte está en relación con éstas lesiones. La presencia de signos de autopsia revela el posible origen violento de la muerte. La elevada fragmentación de la base del cráneo y de las estructuras craneo-faciales apoyan esta hipótesis. Es posible por tanto que el disparo del cuello saliera por la zona facial afectando tanto la fosa craneal media como la anterior (GRAFICO 6). La anómala disposición de los restos hallada en la excavación arqueológica confirman que se trata de un enterramiento no convencional tanto por la excavación de la fosa como por la disposición del cuerpo que parecen realizados con descuido.

GRAFICO 6: Trayectoria del disparo en el cuello con entrada por la zona posterior derecha y salida por la zona facial en el INDIVIDUO 1.



6.1.3. IDENTIFICACION COMPARATIVA: A pesar de todos intentos analíticos realizados en este caso (STRs y SNPs) la identificación genética comparativa ha resultado ser INCONCLUYENTE debido a la inadecuada preservación del ADN en los huesos del INDIVIDUO1.

### 6.2. RELATIVA A LOS RESTOS DISPERSOS HALLADOS:

Los restos dispersos muestran en general un muy mal estado de conservación. Cuatro de los cráneos presentan signos de violencia por disparos de arma de fuego. Las valoraciones realizadas nos han permitido conocer lo siguiente:

-El número mínimo de individuos en este conjunto de restos dispersos de conformidad por el hueso hallado con más frecuencia (peñasco izquierdo) es de 5. Considerando que de los 13 cráneos solo 9 conservan el peñasco izquierdo, en toda la excavación establecemos un **número mínimo de individuos de 14**.

-Que casi todos los restos pertenecen a individuos **adultos** excepto los dientes hallados aisladamente que pertenecen con claridad a un **individuo subadulto** entre 16 y 18 años.

-La existencia de 4 cráneos descontextualizados con signos de violencia por disparos de arma de fuego permiten considerar que el lugar pudo ser un lugar de enterramiento clandestino de víctimas de la Guerra Civil española que fue removido posteriormente. Por tanto debe considerarse a todos los efectos este lugar un Lugar de Memoria de acuerdo a lo establecido en la vigente Ley de Memoria Democrática.

#### **CONCLUSIONES ANTROPOLOGICO-FORENSES:**

**Primera.-El conjunto de restos óseos humanos estudiados pertenecen a un número mínimo de 14 individuos.**

**Segunda.-El INDIVIDUO 1 es un varón adulto de entre 35 y 55 años de 160 cm de altura. El perfil biológico obtenido de este individuo no permite excluir a César Alberte Domínguez.**

**Tercera.-En el INDIVIDUO 1 se han detectado la presencia de signos de violencia por disparos de arma de fuego y práctica de autopsia.**

**Cuarta.-La identificación del INDIVIDUO 1 es INCONCLUYENTE.**

**Quinta.-En los restos descontextualizados hallados en la exhumación se ha detectado la presencia de 4 cráneos con signos de violencia por disparos de arma de fuego.**

**Sexta.-El lugar de la exhumación cumple los requisitos de Lugar de Memoria de acuerdo a lo establecido en la vigente Ley de Memoria Democrática.**

Es todo cuanto tiene que informar.  
Verin (Ourense) a 8 de junio de 2023

Firmado: Dr.Dn.Fernando Serrulla Rech

## BIBLIOGRAFIA UTILIZADA

1. BUIKSTRA JE, UBELAKER DH (editors). Standards for data collection from human skeletal remains Arkansas Archeological survey Research Series nº44. 1994
2. MOORE, JANSEN PM, ONSLEY SD, JANTZ RL .Report of investigations nº48. University of Tennessee, Knoxville. Department of anthropology. 1994.
3. PRIETO JL, SANCHEZ JA, MAGAÑA C, ROSELLO J, GREMO A. Boletín Galego de Medicina Legal e Forense nº10. Asociación Galega de Médicos Forenses. Coordinación Edición: SERRULLA F. 2001.
4. CAMPILLO D. Paleopatología: los primeros vestigios de la enfermedad. Fundación Uriach 1838. 1993.
5. DASTUGUE J, GERVAIS V. Paleopathologie du squelette humain. Ed. Boubée. Paris 1992.
6. REVERTE COMA JM, Antropología Forense. Ministerio de Justicia. Madrid 1991.
7. FABREGAS R, PEREZ F, FERNANDEZ C. Arqueoloxía da morte. Arqueoloxía da morte na península ibérica desde as orixes ata o medioevo. Actas do curso de verán da Universidade de Vigo celebrado en Xinzo de Limia do 4 o 6 de xullo de 1994.
8. PEREZ A. (editor). Salud, enfermedad y muerte en el pasado. Consecuencias biológicas del estrés y la patología. Actas del III Congreso Nacional de Paleopatología. Barcelona 1995.
9. BROTHWELL DR. Desenterrando huesos. La excavación, tratamiento y estudio de restos del esqueleto humano. Fondo de Cultura Económica. México 1981.
10. RIVERO DE LA CALLE M. Nociones de anatomía humana aplicada a la arqueología. Editorial Científico-Técnica. Ciudad de La Habana 1985.
11. CAMPILLO D, VIVES E. Manual de antropología biológica para arqueólogos. Colección Orígenes. Cymys 1986.
12. CAMPILLO D. La enfermedad en la prehistoria. Introducción a la paleopatología. Salvat 1983.
13. VILLALAIN BLANCO JD, GOMEZ BELLARD C, GOMEZ BELLARD F. Actas del II Congreso Nacional de Paleopatología. Valencia 1993.
14. ISIDRO A, MALGOSA A. Paleopatología, la enfermedad no escrita. Masson 2003.
15. ORTNER DJ. Identification of pathological conditions in human skeletal remains 2nd Edition. Academic Press. USA 2003.
16. NOSSINTCHOUCK RM Manuel d'odontologie médico-legale. Masson 1991.
17. SERRULLA F (Coord). RECOMENDACIONES EN ANTROPOLOGIA FORENSE. Asociación Española de Antropología y Odontología Forense. Junio 2013. (descargable en [www.aeaof.com](http://www.aeaof.com))
18. ALQAHTANI SJ, HECTOR MP, LIVERSIDGE HM. Accuracy of dental age estimation charts: Schour and Massler, Ubelaker and the London Atlas. Am J Phys Anthropol. 2014 Jan 28.
19. ALQAHTANI SJ, HECTOR MP, LIVERSIDGE HM. Brief communication: The London atlas of human tooth development and eruption. Am J Phys Anthropol. 2010 Jul;142(3):481-90. doi: 10.1002/ajpa.21258. PubMed PMID: 20310064.
20. BERG, S (1963): The determination of bone age. En: *Methods of Forensic Science, Vol II*. Lundquist, F (Ed). New York, 231-253.